

функцией разрешения прибора. Измеряемый коэффициент прохождения будет равен

$$\overline{T(\varepsilon)} = \int R(\varepsilon - \varepsilon') \exp \left\{ -\frac{n\sigma_0\Gamma^2 d}{(\varepsilon' - \varepsilon_r)^2} \right\} d\varepsilon'. \quad (56,16)$$

Зная функцию разрешения прибора, с помощью (56,16) можно выразить  $\overline{T(\varepsilon)}$  через значение  $\sigma_0\Gamma^2$ . Таким образом, измерения с толстыми образцами после введения соответствующих поправок на разрешение приборов позволяют определить комбинацию резонансных параметров  $\sigma_0\Gamma^2$ . Из полученной величины

$$\sigma_0\Gamma^2 = \frac{4\pi}{k^2} g\Gamma_e\Gamma$$

можно сделать заключение о  $g\Gamma_e$ , если использовать некоторые предположения о величине  $\Gamma_\gamma$ , которая в области малых энергий нейтрона вместе с  $\Gamma_e$  определяет полную ширину ( $\Gamma = \Gamma_e + \Gamma_\gamma$ ). Используя это значение  $\Gamma$ , получим

$$\sigma_0\Gamma^2 = \frac{4\pi}{k^2} g(\Gamma_e\Gamma_\gamma + \Gamma_e^2),$$

или

$$\Gamma_e = \frac{1}{2} \left\{ \sqrt{\Gamma_\gamma^2 + \frac{k^2\sigma_0\Gamma^2}{\pi g}} - \Gamma_\gamma \right\}.$$

## § 57. Эффективные сечения реакций, усредненные по резонансам

Хорошо разрешимые резонансы проявляются при взаимодействии нейтронов малых энергий с легкими и средними ядрами. При рассеянии нейтронов с энергией, превышающей 10 кэв, на ядрах малого и среднего веса резонансное рассеяние преобладает над радиационным захватом. Например, при энергии нейтронов в 1 Мэв в области  $A \sim 20$  ширина резонансного рассеяния  $\Gamma_e$  имеет порядок нескольких тысяч эв, а  $\Gamma_\gamma \sim 5$  эв. По мере роста энергии падающих нейтронов кроме реакции  $\sigma(n, n')$ ,  $\sigma(n, \gamma)$  делаются возможными реакции  $\sigma(n, p)$  и  $\sigma(n, \alpha)$ . Поскольку протонам и  $\alpha$ -частицам приходится преодолевать потенциальный барьер, то  $\Gamma_e > \Gamma_p$  и  $\Gamma_\alpha$ . Так, например, при энергии 5 Мэв эффективные сечения на ядре  $Al^{27}$  имеют следующие значения:

$$\begin{aligned} \sigma(n, n) + \sigma(n, n') &= 0,8 \text{ барн}, & \sigma(n, p) &= 0,03 \text{ барн}, \\ \sigma(n, \alpha) &= 0,001 \text{ барн}, & \sigma(n, \gamma) &= 5 \cdot 10^{-5} \text{ барн}. \end{aligned}$$

Для тяжелых ядер в области энергий  $\varepsilon < 100$  кэв между ширинами радиационного захвата  $\Gamma_\gamma$ , упругого и неупругого рассеяния нейтронов  $\Gamma_e$ , испускания протонов  $\Gamma_p$  и испускания  $\alpha$ -частиц  $\Gamma_\alpha$  имеет место следующее неравенство:  $\Gamma_\gamma > \Gamma_e > \Gamma_p$  и  $\Gamma_\alpha$ .

У тяжелых ядер расстояния между уровнями промежуточного ядра при захвате нейтронов с энергией, превышающей десятки кэв,

уже настолько малы, что не удастся разрешить резонансы при помощи имеющихся в настоящее время недостаточно монохроматических пучков нейтронов и из-за доплеровского уширения уровней (см. § 56). Чтобы сравнивать экспериментальные кривые с теоретическими, надо усреднить теоретические эффективные сечения по энергетическому интервалу  $\Delta\varepsilon$ , включающему много резонансов.

Определим среднее эффективное сечение реакции в интервале  $\Delta\varepsilon$  с помощью формулы

$$\langle \sigma_r \rangle = \frac{1}{\Delta\varepsilon} \int_{\varepsilon - \frac{\Delta\varepsilon}{2}}^{\varepsilon + \frac{\Delta\varepsilon}{2}} \sigma_r(\varepsilon) d\varepsilon. \quad (57,1)$$

Так как эффективные сечения имеют резкие максимумы в области резонансных энергий  $\varepsilon_{r_i}$ , то в интеграле (57,1) играют основную роль области энергии, лежащие вблизи резонансных уровней. В каждой из этих областей сечение реакции изображается формулой

$$\sigma_{r_i} = \frac{\pi}{k^2} \frac{\Gamma_{r_i} \Gamma_{e_i}}{(\varepsilon - \varepsilon_i)^2 + \frac{\Gamma_i^2}{4}},$$

поэтому можно написать:

$$\langle \sigma_r \rangle = \frac{\pi}{\Delta\varepsilon} \sum_{r_i} \int \frac{1}{k^2} \frac{\Gamma_{r_i} \Gamma_{e_i}}{(\varepsilon - \varepsilon_i)^2 + \frac{\Gamma_i^2}{4}} d\varepsilon.$$

Величины  $k$ ,  $\Gamma_{r_i}$ ,  $\Gamma_{e_i}$  являются медленно меняющимися функциями энергии, поэтому их можно вынести за знак интеграла, а пределы интегрирования при малых  $\Gamma$  (резкий максимум) распространить до  $-\infty$  и  $+\infty$ . Тогда, используя формулу

$$\int_{-\infty}^{\infty} \frac{dx}{x^2 + a^2} = \frac{\pi}{a},$$

получим:

$$\langle \sigma_r \rangle = \frac{2\pi^2 \bar{\Gamma}_r \bar{\Gamma}_e}{k^2 \bar{\Gamma}} \cdot \nu \cdot \frac{1}{\Delta\varepsilon},$$

где  $\nu = \frac{\Delta\varepsilon}{D}$  — число резонансов в интервале  $\Delta\varepsilon$ ;  $\bar{\Gamma}_r$ ,  $\bar{\Gamma}_e$  и  $\bar{\Gamma}$  — средние значения\*) соответствующих ширин резонансов в интервале  $\Delta\varepsilon$ . Окон-

\*) В дальнейшем в этом параграфе будут использоваться только средние значения ширин, поэтому черта над буквой будет опускаться.

чительно получаем, что сечение реакции, усредненное по резонансам, пропорционально средней плотности уровней составного ядра

$$\langle \sigma_r \rangle = \frac{2\pi^2 \Gamma_e \Gamma_r}{k^2 \Gamma D}. \quad (57,2)$$

Если использовать приближенное выражение (55,14) для  $\Gamma_e$

$$\Gamma_e = \frac{2kD^*}{\pi K},$$

то

$$\langle \sigma_r \rangle = \frac{4\pi D^* \Gamma_r}{\pi K D \Gamma}.$$

При больших энергиях  $\Gamma_r \approx \Gamma$ ; далее, полагая  $D^* \approx D$ , имеем:

$$\langle \sigma_r \rangle = \frac{4\pi}{kK}, \quad (57,3)$$

что совпадает с соответствующим сечением нерезонансной теории (см. (55,7)).

Итак, сечение, усредненное по резонансам, должно соответствовать сечению рассеяния на сферической потенциальной яме такой глубины, чтобы внутреннее волновое число нейтрона равнялось  $K$  и падающая нейтронная волна полностью поглощалась бы в ядре.

Формулу (57,2) легко обобщить на случай  $l \neq 0$ . Для этого максимальное возможное значение сечения  $\frac{\pi}{k^2}$  при  $l=0$  надо заменить в (57,2) на максимально возможное значение сечения при  $l \neq 0$  и величину  $D$  отсчитывать между уровнями с данным  $l$ . Тогда получим:

$$\langle \sigma_r^{(l)} \rangle = \frac{2\pi^2}{k^2} (2l+1) \frac{\Gamma_e \Gamma_r}{\Gamma D_l}. \quad (57,4)$$

Полное сечение реакции (для всех  $l$ ) определяется суммированием (57,4) по всем  $l \leq kd$ :

$$\langle \sigma_r \rangle = \sum_l \langle \sigma_r^{(l)} \rangle = 2\pi^2 (d + \lambda)^2 \frac{\Gamma_e \Gamma_r}{\Gamma D}.$$

Рассмотрим теперь частный случай реакции — реакцию захвата нейтрона, имеющего орбитальный момент  $\hbar l$ , с испусканием  $\gamma$ -кванта. Эффективное сечение этой реакции будем кратко обозначать  $\sigma^{(l)}(n, \gamma)$ . Сечение реакции  $\sigma^{(l)}(n, \gamma)$  получается умножением сечения (57,4) на отношение  $\frac{\Gamma_\gamma}{\Gamma_r}$ , т. е.

$$\langle \sigma^{(l)}(n, \gamma) \rangle = \frac{2\pi^2}{k^2} (2l+1) \frac{\Gamma_e \Gamma_\gamma}{\Gamma D_l}. \quad (57,5)$$

Как указывалось в начале этого параграфа, при рассеянии нейтронов с энергией, превышающей 10 кэВ на ядрах среднего и малого атомного

веса,  $\Gamma_e > \Gamma_\gamma$ . Если ширины других реакций также малы, то  $\Gamma \approx \Gamma_e$  и усредненное по резонансам сечение радиационного захвата принимает вид

$$\langle \sigma^{(l)}(n, \gamma) \rangle = \frac{2\pi^2}{k^2} (2l+1) \frac{\Gamma_\gamma}{D_l}. \quad (57,6)$$

Если в реакции участвуют только нейтроны с  $l=0$ , то

$$\langle \sigma^{(0)}(n, \gamma) \rangle = \frac{2\pi^2}{k^2} \frac{\Gamma_\gamma}{D_0}. \quad (57,7)$$

Таким образом, сечение радиационного захвата изменяется обратно пропорционально энергии относительного движения  $\langle \sigma^{(0)}(n, \gamma) \rangle \sim \frac{1}{\epsilon}$ .

Этот закон подтверждается экспериментальными данными по радиационному захвату нейтронов вплоть до энергии в 1 Мэв [32]. При дальнейшем увеличении энергии в общее сечение захвата нейтрона будут давать вклад и значения  $l \neq 0$ . Кроме того, надо учесть зависимость от энергии среднего расстояния между уровнями  $D$ ; все это должно приводить к более медленному убыванию сечения с энергией, чем  $\frac{1}{\epsilon}$ .

Эффект высоких значений  $l$  может быть оценен путем суммирования (57,6) по всем  $l \leq kd$ , тогда

$$\langle \sigma(n, \gamma) \rangle = 2\pi^2 (d + \lambda)^2 \frac{\Gamma_\gamma}{D}, \quad (57,8)$$

где  $D = \bar{D}_l$ . При  $\lambda \gg d$  формула (57,8) переходит в (57,7).

Формула (57,7) определяет усредненное по резонансам эффективное сечение радиационного захвата нейтронов как функцию радиационной ширины  $\Gamma_\gamma$  и среднего расстояния между уровнями составного ядра при данном возбуждении.

Радиационная ширина сравнительно хорошо известна для элементов  $A > 100$ , где  $\Gamma_\gamma \approx 0,1$  эв. При уменьшении массового числа  $A$  до 20 значение  $\Gamma_\gamma$  увеличивается до нескольких эв. Рис. 61, заимствованный из работы [33], дает представление о зависимости  $\Gamma_\gamma$  от  $A$ . Пользуясь этими значениями  $\Gamma_\gamma$  и измеренными величинами  $\langle \sigma(n, \gamma) \rangle$ , можно с помощью (57,7) вычислить среднее расстояние между уровнями  $D_0$ , возбуждаемыми

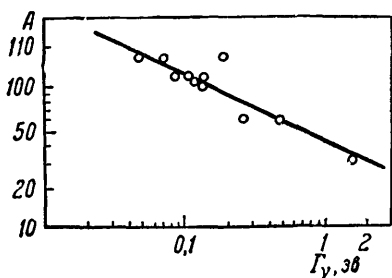


Рис. 61. Зависимость радиационной ширины от атомного веса. Кружки соответствуют экспериментальным значениям.

s-нейтронами в составном ядре. В таблице 27 приведены некоторые значения  $D_0$ , вычисленные [32] по экспериментальным значениям  $\langle \sigma(n, \gamma) \rangle$ , при энергии нейтронов, равной 1 Мэв.

Таблица 27. Значения  $D_0$  для некоторых ядер

Изотоп	Спин	$\sigma_{\text{тепл'}}$ барн	$\sigma$ (1 Мэв), барн	$E_r = \epsilon_r + E_0$	$D_0$ , эв
Na <sup>23</sup>	$\frac{3}{2}$	0,49	0,26	7,39	$4,8 \cdot 10^4$
Mg <sup>26</sup>	0	0,049	0,6	6,61	$1,7 \cdot 10^4$
Al <sup>27</sup>	$\frac{5}{2}$	0,215	0,37	8,3	$2,5 \cdot 10^4$
Ar <sup>40</sup>	0	1,2	0,93	7,22	$4,4 \cdot 10^3$
K <sup>41</sup>	$\frac{3}{2}$	1,0	2,9	8,27	$1,3 \cdot 10^3$
Ca <sup>48</sup>	0	1,1	1,9	5,39	$1,5 \cdot 10^3$
Ni <sup>64</sup>	0	2,6	5,1	7,34	$2,9 \cdot 10^2$
Cu <sup>63</sup>	$\frac{3}{2}$	4,0	11,4	8,74	$1,3 \cdot 10^2$
Ag <sup>107</sup>	$\frac{1}{2}$	32	85	8,41	6
In <sup>115</sup>	$\frac{9}{2}$	52	57	8,09	1,9
J <sup>127</sup>	$\frac{5}{2}$	6,7	105	8,33	3,3
Xe <sup>136</sup>	0	0,15	1	5,69	$3,02 \cdot 10^2$
Ba <sup>138</sup>	0	0,5	2,3	6,26	$1,35 \cdot 10^2$
La <sup>139</sup>	$\frac{7}{2}$	8,4	5,0	6,55	63
Ce <sup>140</sup>	0	0,27	5,4	6,85	52
Hg <sup>204</sup>	0	0,43	102	7,19	1,26
Pb <sup>208</sup>	0	0,0006	2,0	5,06	61
Bi <sup>209</sup>	$\frac{9}{2}$	0,017	3,4	5,27	35

Таблица 28. Значение параметров, определяющих среднее расстояние между уровнями возбужденных ядер

A	27	63	115	181	231
$\beta$ , Мэв <sup>-1</sup>	0,45	2	8	10	12
C, Мэв <sup>-1</sup>	0,5	0,3	0,02	0,01	0,005

Интересно сравнить эти экспериментальные данные с выводами статистической теории о среднем расстоянии между уровнями. Согласно статистической теории плотность уровней, или среднее число уровней в энергетическом интервале  $1 \text{ Мэв}$ , равно  $10^8/D_0$ , может быть выражена формулой (см. (25,6))

$$\frac{10^8}{D_0} = C \exp(2\sqrt{\beta E^*}), \quad (57,9)$$

где  $E^*$  — энергия возбуждения ядра; параметры  $\beta$  и  $C$  зависят от массового числа ядра. На рис. 62, взятом из работы [32], изображена кривая зависимости  $D_0$  от  $A$  на основе формулы (57,9) при значениях параметров, приведенных в таблице 28.

Рис. 62. Зависимость среднего расстояния между уровнями атомного ядра от массового числа.

Значения  $D_0$ , вычисленные согласно формуле (57,7), отмечены на рис. 62 кружками для немагических ядер четного  $A$  и крестиками для немагических ядер нечетного  $A$ . Значения  $D_0$  у ядер со спинами  $9/2$  и  $7/2$ , как отмечается в работе [32], мало отличаются от соответствующих значений  $D_0$  для соседних ядер с меньшими спинами.

### § 58\*. Матрица рассеяния для резонансных реакций

В этом параграфе мы изложим более строгую теорию резонансных ядерных реакций. В частности, попытаемся выяснить условия, при которых оправдывается гипотеза Бора о независимости распада составного ядра от способа его образования.

В дальнейшем для простоты будем предполагать, что составное ядро, образующееся в результате реакции, распадается только на две части. В этом случае можно пользоваться понятием канала реакции, введенным в § 50. Задачей теории ядерных реакций является вычисление матрицы рассеяния (или сечения реакции) для каждого канала реакции.

Вследствие малого радиуса действия специфических ядерных сил 3А-мерное конфигурационное пространство системы  $A$  нуклонов для каждого канала реакции может быть разделено на две области: внутреннюю и внешнюю. Внутренней областью будем называть отделенную с помощью замкнутой гиперсферы ( $\sigma$ ), введенной Вигнером и Айзенбадом [34], область, в которой проявляются специфические ядерные силы между всеми нуклонами. Внешней областью будем называть область конфигурационного пространства вне гиперсферы  $\sigma$ , в которой между